

論 論 言 説 報 告

第十八卷第十號 昭和七年十月

高架式架構に於ける應力性質の二三に就て

准員 三澤芳雄

Stress Characteristics of Viaduct-Bents

By Yoshio Misawa, Assoc. Member.

内 容 條 意

本文は垂直荷重を有する固定脚高架式三脚間架構が、兩側二脚柱の高さを連續變化せしむる時、之に因り轉曲率並に架構格點の水平移動量に對して誘發せらるべき變化並に影響を研究し且つ是等轉曲率並に格點水平移動を表すべき二つの項を誘導し、之に依り架構部材の大きさに關係する項と、荷重そのものに主として支配せらるべき項との二つを表示し、併せて之が計算式を示したものである。

緒 言

架構は大が無い不確定構造なるの故を以て、計算の複雜性に基因して、多くの場合現へられた特定の構造物に就て、其應力算定に努力せられて居た。然るに近時架構の計算が、機械的に且つ迅速に行はれ得るに至つた結果となり、吾々は單に特定の架構を設計するの狭範囲より脱して、類似架構の連續種々相を研究して、架構領域に今迄隠れて居た新らしき性質を見出さんと努力することに興味を感じる。

抑々一つの架構に於て、一定點の轉曲率が荷重の變化に依り増減することは、影響線の圖示法に依りあまりにも周知なことである。一定點の轉曲率が一定の荷重に對しても、よく部材斷面の變化に依り増減することの研究は、同様に興味あることに思はれる。又一定點の轉曲率の値が断面を一定に保つ時に於ても、其長さを變化することに依り増減するの性質は重要なことゝ思はれる。

數多くの取扱されたる問題の中、著者は特に先づ断面を一定に保つて、上記の架構兩側二脚柱の長さを變化せしめ、之に基因して變化する轉曲率及水平移動の性質に就て研究せんとするものである。

建築架構に関するに類似の研究には鷹部駿、武藤寅博士其他二三の文獻がある¹⁾。然るに高架式架構に関する此種の性質に就ての文獻は既に多々たるもので、著者とは稍別な立場からの研究に對して、阿部博士及 Strassner

1) Takahashi's Mechanical Tabulation Method 參照。

2) 鷹部駿博士； 架構應力研究 I, II

高級衍梁論

モノメント圖譜

Rohmentafeln

北大紀要第1卷2號, 3號, 5號, 第2卷4號

武藤博士； 矩形架構の新設計方針と其計算方法（建築雑誌 537 號）

田中氏； 矩形架構の性質に關する一考察（建築雑誌 543 號）

谷氏； 高層矩形架構群に於ける横力分布に就て（建築雑誌 549 號）

等に依る研究がある³⁾。而して後者に依るものは著者の取扱つた場合の特殊のものと見做すことが出来る。

本文を稿するに當り、多大の指導を與へられた北海道帝國大學教授鷹部吉博士に對し深甚の謝意を表する次第である。

1. 曲率に對する影響

1. 一般なる場合

今格闘迴轉角並に部材迴轉角を含む未知量を夫々 φ 及 μ を以て表す時は、第一圖に示す如き架構の解法として、機械的作表法は是等未知量を決定する爲に第一表を用いる。

但し表中 ξ_r , ρ_r , k_r , J_r , E_r , R_r , L_r は次の如きものを表す。

$$\xi_r : r \text{ 部材の慣性半径と該部材長との比}$$

$$\rho_r : r \text{ 點に集まる } \sigma \text{ の總和の } 2 \text{ 倍}$$

$$k_r : f_r \xi_r \quad (f_r = h/h_r, \quad h = \text{任意長})$$

$$J_r : \frac{2}{3} \sum f_r^2 \xi_r$$

$$E_r : \text{材料彈性係數}$$

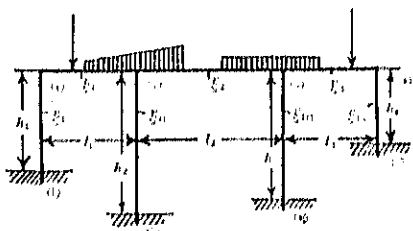
$$R_r : \frac{2M}{\mu} \{3\lambda - l\}$$

$$L_{r+1} : \frac{2M}{\mu} \{2l - 3\lambda\}$$

茲に M は單桁 $r=r+1, 1$ の中間荷重に依るモーメント系列の面積にして、 λ は $r=1$ の點より面積算の重心に至る水平距離である。即ち R_r , L_{r+1} は部材 $r=r+1$ に加へる中間荷重により決定し、種々の荷重に對し逐次計算表示せらる得るものである⁴⁾。

之より未知量を決定する爲には消去法と反復試索法とかあるが、著者の場合に於ては消去法を用ひた。

第一圖



第一表

方程式番號	方程式右邊	方程式右邊
(1)	p_1 ξ_1	k_1
(2)	ξ_1 p_2 ξ_2	L_2
(3)	ξ_2 p_3 ξ_3	L_3
(4)	ξ_3 p_4 ξ_4	L_4
(5)	k_1 k_2 k_3 k_4	J

係數: $1/l_1 2E$

$R_1 = L_1$

$R_2 = L_2$

$R_3 = L_3$

$-L_4$

0

3) 鶴部博士: 鋼筋混泥土理論編 598 頁

Strasser: Tabellen für die Einflusslinien und die Momente des durchlaufenden Rahmens.
Marcus: Die Einflusslinien mehrfach gestützter Rahmenträger.

4) 鶴部基博士: 架構應力研究 I, 14 頁第 1 表

架構新論, 47 頁第 5 表

2. 兩側二脚柱の高さ等しく且つ同時に變化する場合

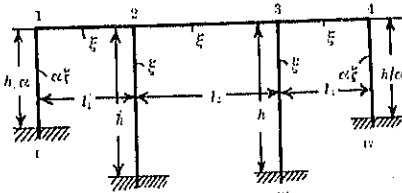
A) 任意荷重の場合

内側二脚柱の高さを h にて表し、外側二脚柱の高さを h/α とし、又各部材の ξ を第二圖に示す如く取る。即ち四脚柱が同一高さ有する場合に於て、架構の剛比を 1.0 とする。斯くする時は第一表より換角並に水平移動量は決定せられ、從つて之に依り剛節點並に脚部轉曲率は一般に次式に依り表される。

$$M = AR_1 + B(R_2 - L_2) + C(R_3 - L_3) - DL_4 + T \dots \dots \dots \dots \dots \quad (I)$$

然に A, B, C 及 D は α の値に依つて決定せられ、 α をして既知ならしむれば一定常数となる。又 T は中間剛節點轉曲率に於てのみ存在し、柱材のみに就き計算せらるべき値である。今 M_{11}, M_{12} 等に對し是等を表示せば第二表の如くである。

第二圖



第二表

	A	B	C	D	T
M_{11}	$\alpha\Delta(\alpha p+r)$	$-\alpha\Delta(\alpha q+s)$			
M_{112}	$1+\Delta(1+\alpha)\{(1-\alpha)p-2r\}$	$-\Delta(1+\alpha)\{q(1-\alpha)-2s\}$			
M_{12}	$-\alpha\Delta(\alpha p+2r)$	$\alpha\Delta(\alpha q+2s)$			
M_{21}	$2-\Delta\{2\alpha(\alpha p+2r)+3r\}$	$\Delta\{2\alpha(\alpha q+2s)+3s\}$			
M_{23}	$-4-\Delta\{p(1-4\alpha^2)-r(7+8\alpha)\}$	$1+\Delta\{q(1-4\alpha^2)-s(7+8\alpha)\}$			
M_{211}	$-(A_{M21}+A_{M23})$	$-(B_{M21}+B_{M23}-1.0)$			
M_{11}	$-\alpha\Delta(\alpha q+l)$	$\alpha\Delta(\alpha p-u)$			0
M_{112}	$-\Delta(1+\alpha)\{q(1-\alpha)-2l\}$	$\Delta(1+\alpha)\{p(1-\alpha)+2u\}$			0
M_{14}	$\alpha\Delta(\alpha q+2l)$	$-\alpha\Delta(\alpha p-2u)$			0
M_{21}	$\Delta\{2\alpha(\alpha q+2l)+3l\}$	$-\Delta\{2\alpha(\alpha p-2u)-3u\}$			L_2
M_{23}	$\Delta\{q(1-4\alpha^2)-l(7+8\alpha)\}$	$-\Delta\{p(1-4\alpha^2)+n(7+8\alpha)\}$			$-R_2$
M_{211}	$-(C_{M21}+C_{M23})$	$-(D_{M21}+D_{M23})$			0

茲に

$$\Delta = (12.60 + 27.86\alpha + 69.02\alpha^2 + 174.44\alpha^3 + 111.05\alpha^4 + 139.16\alpha^5 + 158.27\alpha^6 + 34.30\alpha^7)^{-1}$$

$$p = 0.05 + 1.05\alpha - 13.23\alpha^2 - 14.70\alpha^3 + 40.91\alpha^4 + 51.45\alpha^5$$

$$q = 1.89 + 3.09\alpha - 12.08\alpha^2 - 28.98\alpha^3 - 8.09\alpha^4 + 7.35\alpha^5$$

$$r = 0.97 + 7.70\alpha - 47.71\alpha^2 - 44.94\alpha^3 - 1.29\alpha^4 - 62.72\alpha^5 - 42.88\alpha^6$$

$$s = 1.33 + 1.47\alpha - 10.05\alpha^2 - 9.80\alpha^3 + 6.09\alpha^4 - 3.43\alpha^5 - 0.62\alpha^6$$

$$l = -0.07 + 0.07\alpha - 0.67\alpha^2 - 0.84\alpha^3 + 8.61\alpha^4 + 0.31\alpha^5 - 9.19\alpha^6$$

$$u = 0.04 + 0.81\alpha^2 + 0.14\alpha^3 - 11.03\alpha^4 - 0.98\alpha^5 + 25.73\alpha^6$$

の値。

α の値に 0.1~10.0 を入れ是等 A, B, C, D の値を計算したものは、第三表に示すところである。之を圖示せば第三圖より第八圖に示す様になる。

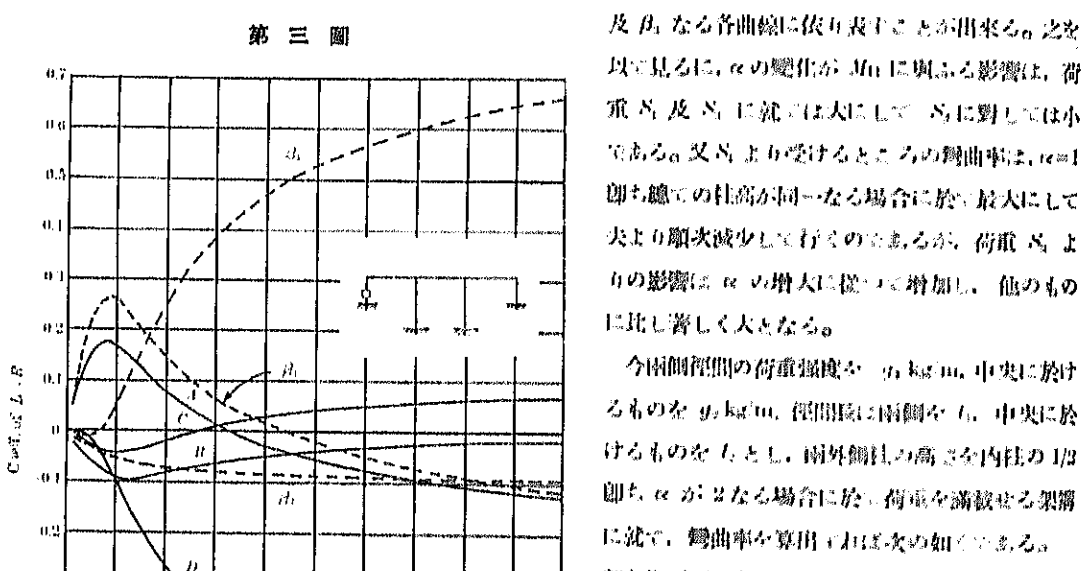
之より各轉曲率に就て、 α 値の連續的變化に依る影響を研究するに次の如くである。

a) 各脚柱の固定脚部に於ける轉曲率に就て

第三表

d	M ₁₁				M ₂₂				M ₃₃ (=-M ₁₁)				M ₄₄				M ₅₅				M ₆₆			
	A	B	C	D	A	B	C	D	A	B	C	D	A	B	C	D	A	B	C	D	A	B	C	D
0.1	-0.003	-0.003	0.003	-0.003	-0.001	-0.001	0.001	-0.001	-0.001	-0.001	0.001	-0.001	-0.001	0.001	-0.001	-0.001	-0.001	-0.001	-0.001	-0.001	0.001	-0.001	0.001	-0.001
0.3	-0.001	-0.001	0.001	-0.001	-0.001	-0.001	0.001	-0.001	-0.001	-0.001	0.001	-0.001	-0.001	0.001	-0.001	-0.001	-0.001	-0.001	-0.001	-0.001	0.001	-0.001	0.001	-0.001
0.5	-0.001	-0.001	0.001	-0.001	-0.001	-0.001	0.001	-0.001	-0.001	-0.001	0.001	-0.001	-0.001	0.001	-0.001	-0.001	-0.001	-0.001	-0.001	-0.001	0.001	-0.001	0.001	-0.001
0.7	-0.001	-0.001	0.001	-0.001	-0.001	-0.001	0.001	-0.001	-0.001	-0.001	0.001	-0.001	-0.001	0.001	-0.001	-0.001	-0.001	-0.001	-0.001	-0.001	0.001	-0.001	0.001	-0.001
1.0	-0.001	-0.001	0.001	-0.001	-0.001	-0.001	0.001	-0.001	-0.001	-0.001	0.001	-0.001	-0.001	0.001	-0.001	-0.001	-0.001	-0.001	-0.001	-0.001	0.001	-0.001	0.001	-0.001
1.2	-0.001	-0.001	0.001	-0.001	-0.001	-0.001	0.001	-0.001	-0.001	-0.001	0.001	-0.001	-0.001	0.001	-0.001	-0.001	-0.001	-0.001	-0.001	-0.001	0.001	-0.001	0.001	-0.001
1.5	-0.001	-0.001	0.001	-0.001	-0.001	-0.001	0.001	-0.001	-0.001	-0.001	0.001	-0.001	-0.001	0.001	-0.001	-0.001	-0.001	-0.001	-0.001	-0.001	0.001	-0.001	0.001	-0.001
2.0	-0.001	-0.001	0.001	-0.001	-0.001	-0.001	0.001	-0.001	-0.001	-0.001	0.001	-0.001	-0.001	0.001	-0.001	-0.001	-0.001	-0.001	-0.001	-0.001	0.001	-0.001	0.001	-0.001
2.5	-0.001	-0.001	0.001	-0.001	-0.001	-0.001	0.001	-0.001	-0.001	-0.001	0.001	-0.001	-0.001	0.001	-0.001	-0.001	-0.001	-0.001	-0.001	-0.001	0.001	-0.001	0.001	-0.001
3.0	-0.001	-0.001	0.001	-0.001	-0.001	-0.001	0.001	-0.001	-0.001	-0.001	0.001	-0.001	-0.001	0.001	-0.001	-0.001	-0.001	-0.001	-0.001	-0.001	0.001	-0.001	0.001	-0.001
3.5	-0.001	-0.001	0.001	-0.001	-0.001	-0.001	0.001	-0.001	-0.001	-0.001	0.001	-0.001	-0.001	0.001	-0.001	-0.001	-0.001	-0.001	-0.001	-0.001	0.001	-0.001	0.001	-0.001
4.0	-0.001	-0.001	0.001	-0.001	-0.001	-0.001	0.001	-0.001	-0.001	-0.001	0.001	-0.001	-0.001	0.001	-0.001	-0.001	-0.001	-0.001	-0.001	-0.001	0.001	-0.001	0.001	-0.001
4.5	-0.001	-0.001	0.001	-0.001	-0.001	-0.001	0.001	-0.001	-0.001	-0.001	0.001	-0.001	-0.001	0.001	-0.001	-0.001	-0.001	-0.001	-0.001	-0.001	0.001	-0.001	0.001	-0.001
5.0	-0.001	-0.001	0.001	-0.001	-0.001	-0.001	0.001	-0.001	-0.001	-0.001	0.001	-0.001	-0.001	0.001	-0.001	-0.001	-0.001	-0.001	-0.001	-0.001	0.001	-0.001	0.001	-0.001
6.0	-0.001	-0.001	0.001	-0.001	-0.001	-0.001	0.001	-0.001	-0.001	-0.001	0.001	-0.001	-0.001	0.001	-0.001	-0.001	-0.001	-0.001	-0.001	-0.001	0.001	-0.001	0.001	-0.001
7.0	-0.001	-0.001	0.001	-0.001	-0.001	-0.001	0.001	-0.001	-0.001	-0.001	0.001	-0.001	-0.001	0.001	-0.001	-0.001	-0.001	-0.001	-0.001	-0.001	0.001	-0.001	0.001	-0.001
8.0	-0.001	-0.001	0.001	-0.001	-0.001	-0.001	0.001	-0.001	-0.001	-0.001	0.001	-0.001	-0.001	0.001	-0.001	-0.001	-0.001	-0.001	-0.001	-0.001	0.001	-0.001	0.001	-0.001
9.0	-0.001	-0.001	0.001	-0.001	-0.001	-0.001	0.001	-0.001	-0.001	-0.001	0.001	-0.001	-0.001	0.001	-0.001	-0.001	-0.001	-0.001	-0.001	-0.001	0.001	-0.001	0.001	-0.001
100	-0.001	-0.001	0.001	-0.001	-0.001	-0.001	0.001	-0.001	-0.001	-0.001	0.001	-0.001	-0.001	0.001	-0.001	-0.001	-0.001	-0.001	-0.001	-0.001	0.001	-0.001	0.001	-0.001

第一、第二及第三跨間の荷重（略して荷重 S_1 , S_2 及 S_3 とする）に對し、外側柱高の瞬時変動變化が轉曲率 M_{11} に與ふる影響は、第三圖に於て (A, B), (B, C) 及 (C, D) の各二曲線間に挿まれたる破折の變化、即ち β_1 , β_2 及 β_3 なる各曲線に依り表すことが出来る。之を以て見るに、 α の變化が M_{11} に與ふる影響は、荷重 S_1 及 S_2 に就ては大にして、 S_3 に對しては小である。又 S_1 及 S_2 を受けけるところの轉曲率は、 $\alpha=1$ 即ち總ての柱高が同一なる場合に於て最大にして去より順次減少して行くのであるが、荷重 S_3 よりの影響は α の増大に従つて増加し、他のものに比し著しく大となる。



$$\therefore M_{11} = A R_1 + B (R_2 - L_2) + C (R_3 - L_3) + D L_4 + T = 0.0343 g_1 L_1^2 + 0.0057 g_2 L_2^2$$

即ち g_1 に依る M_{11} の増加は g_2 に依る M_{11} の減少に對し、前者を 1 とすれば後者は凡そ 0.17 である。即ち g_2 の影響は g_1 に比し微小である。尚上記の如き條件に於ては、開節點及脚部の轉曲率は、總ての α 値に於て

$$R_1 = L_1, \quad R_2 = L_2 = 0.084 g_1 L_1^2$$

$$R_3 = L_3 = 0.083 g_2 L_2^2, \quad T = 0$$

又第三表或は第三圖より

$$A = 0.0779, \quad B = 0.0787, \quad C = 0.0097, \quad D = 0.02089$$

$$M = 0.088 (\beta_1 + \beta_2) g_1 l_1^2 + 0.088 \beta_2 g_2 l_2^2$$

に依り表すことが出来る。第三圖より M_{II} にありては、常に $(\beta_1 + \beta_2)$ は β_2 と異符号なることを知るが故に、如何なる α の値に對しても $M_{II}=0$ なるべき g_1 と g_2 、或は l_1 と l_2 との關係が存在する。若し $\alpha=2$ ならば $g_1=g_2$ の時 $l_2=2.5 l_1$ に於て $M_{II}=0$ である。又 $l_1=l_2$ の時 $g_2=6.1 g_1$ に於て $M_{II}=0$ となる。

b) 第二脚軸固定脚部に於ける轉曲率に就て

荷重 S_1 より生ずる轉曲率を見るに α の値に依る相違は省略的微近似にして、 S_1 及 S_2 に對するものは $\alpha \approx 1.5$ に於て何れも其増減の方向を轉ずるものである。又 $R_3=R_4$ なる場合に於ては、 α の値が 1.0 及 6.0 に近似の値をとる時、荷重 S_1 に依る轉曲率は零となることを第四圖より知ることが出来る。

前記の例題に於ける架構條件を用ふれば

$$M_{II2} = -0.0201 g_1 l_1^2 + 0.0172 g_2 l_2^2$$

となる。

g_1 に依る M_{II2} の減少と g_2 に依る増加の比は 1:0.80 にして、 $g_1=g_2$ とする時 $l_2=1.1 l_1$ に於て、又 $l_1=l_2$ の時は $g_2=1.2 g_1$ に於て $M_{II2}=0$ となる。

若し又四柱等長にして、中央脚間にのみ等分布重を満載せる場合の M_{II2} を求めんとすれば、

$$\alpha=1, R_1=R_2=R_3=R_4=0,$$

$$R_3=R_4=0.088 g_1^2$$

にして、第三表或は表四圖より $B=0.1300$,

$C=-0.0805$ である。故に (I) 式より

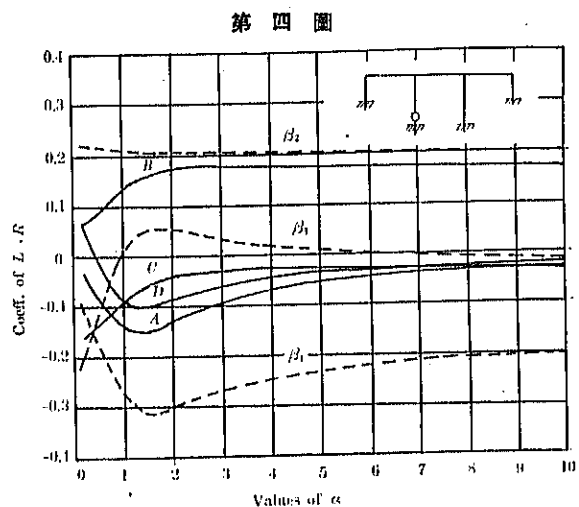
$$M_{II2} = BR_2 - CL_3 = 0.0175 g_1^2$$

となる。之を阿部博士に依り算出されたる値と比較するに全く相一致する(鐵筋混凝土理論編 004 頁圖表參照)。

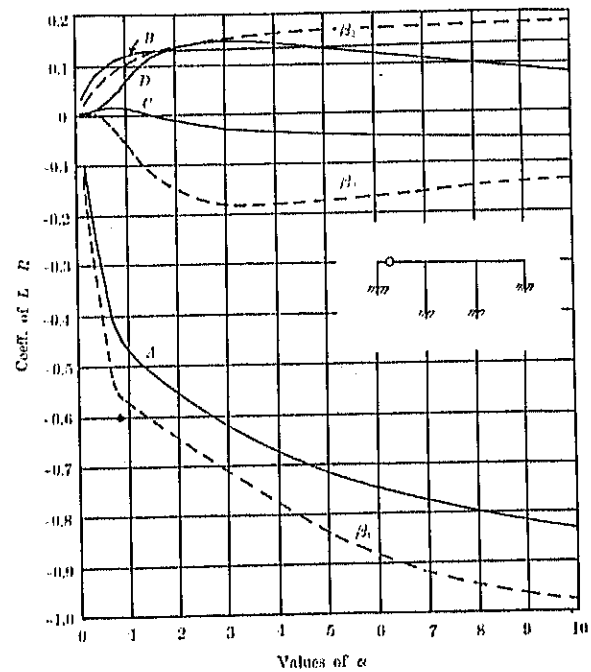
c) 第一脚間水平軸に於ける左端の轉曲率に就て

M_{II} は M_{II1} と等値異符にして、第五圖に見る如く荷重 S_1, S_2 に對しては α の變化に比例し、荷重 S_1 に對しては α が 3.5 の近似値をとる時最大となり、夫より後は α の增加に伴ひ減少する。

前記例題の架構條件に於て M_{II} を求むれば次の如くなる。



第四圖



第五圖

$$M_{12} = -0.0690 g_1 l_1^2 + 0.0115 g_2 l_2^2$$

即ち M_{12} の g_1 に依る減少と g_2 に依る増加の比は $1:0.17$ にして、 $g_1=g_2$ とする時は $l_2=2.4 l_1$ に於て、又 $l_1=l_2$ なる時は $g_2=6 g_1$ に於て夫々 $M_{12}=0$ となる。

d) 第一御間水平軸に於ける右端の轉曲率に就て

α の變化に依る荷重 S_2 の影響は微小にして、荷重 S_1 に對しては α の增加と共に減少し、 S_4 に對しても $\alpha \approx 2.5$ より大なる値に對しては減少して行く。(I) 式に於て、 M_{21} にありては $T=L_1$ であるから、 $M_{21}=AR_1+(1-B)L_2+BR_2+C(R_3-L_3)-DL_4$ となる。故に荷重 S_1 が α の變化に依り M_{21} に與ふる影響は $1.0+(1-B)$ を以て表はし得る。第六圖に於ける β_1 は特に此値を示すものである。

前記例題條件に於て M_{21} を算出すれば、

$$M_{21}=0.0603 g_1 l_1^2 + 0.0310 g_2 l_2^2$$

となる。即ち g_1 と g_2 に依る M_{21} の增加比は $1:0.52$ である。第六圖に見る如く總ての α 値に於て $\beta_1+\beta_2$ は β_2 と同符号をとるに依り、 g_1, g_2 或は l_1, l_2 の如何なる値に於ても常に $M_{21} \neq 0$ である。

e) 第二御間水平軸に於ける左端轉曲率に就て

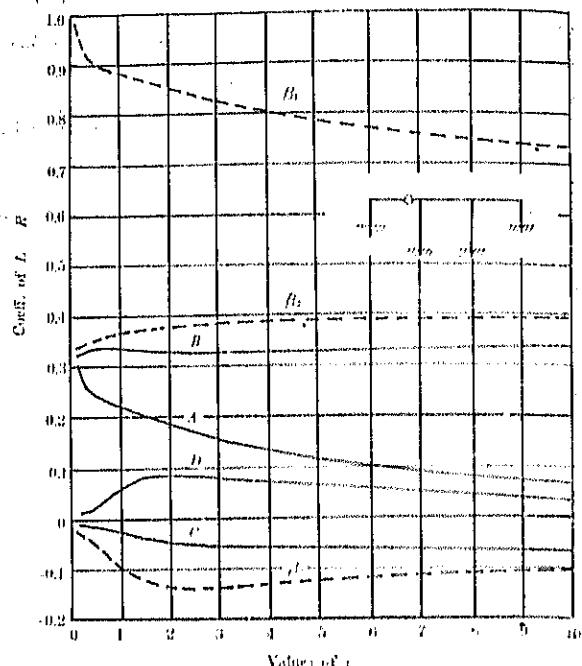
荷重 S_1, S_2 及 S_4 に依る何れの轉曲率も、 $\alpha=1.5$ より大なる値に對しては、 α に依る影響は微微である。 M_{21} は (I) 式に於て $T=-R_2$ なるに依り、 M_{21} に於ける第六圖の β_1 と同様に、第七圖に於て β_1 は $(B-C)-1.0$ を示すものである。

前記例題條件に於ては M_{21} は次の如くなる。

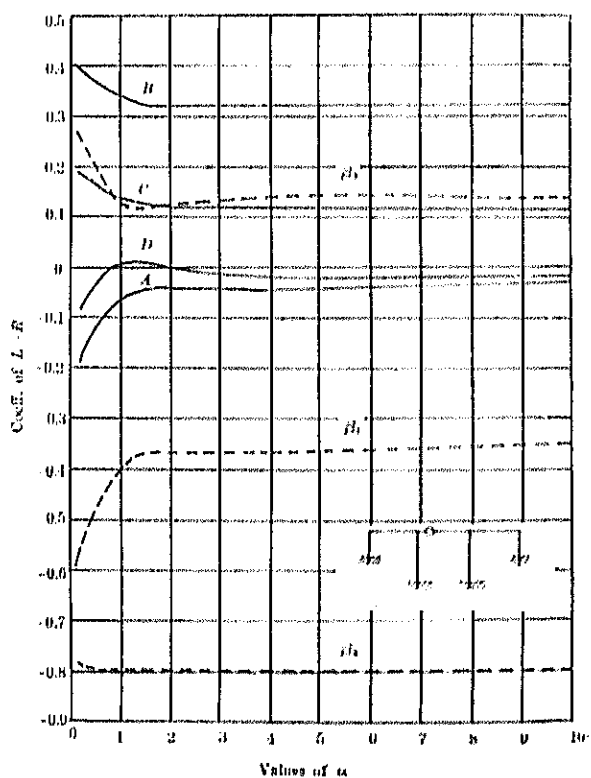
$$M_{21}=-0.0200 g_1 l_1^2 - 0.0661 g_2 l_2^2$$

即ち M_{21} にありては、 g_1 に依る減少は g_2 に依る減少に比し凡そ 3 倍である。第七圖に見る如く、 α の如何なる値に於ても $\beta_1+\beta_2$ は常に β_1

第六圖



第七圖



と同符號をとることは M_{11} の場合と同様である。

f) 第二期柱上端に於ける鈍曲率に就て

α の變化に依る荷重 S_1 の影響は殆んど省略的微積にして、荷重 S_1 及 S_2 は其變化曲線に於て $\alpha=1.5$ 及 $\alpha=2$ に於て夫々其増減の方向を轉ずる（第八圖参照）。

前記條件に於て M_{211} を求むれば

$$M_{211} = -0.0403 g_1 l_1^2 + 0.0345 g_2 l_2^2$$

となる。即ち g_1 に依る M_{211} の減少を 1.0 とするとき、 g_2 に依る增加は 0.80 である。

又 $g_1=g_2$ なる時は $l_2=1.1 l_1$ に於て、 $l_1=l_2$ なる時は $g_2=1.3 g_1$ に於て $M_{211}=0$ となる。

B) 等布荷重に依る最大鈍曲率の決定

任意荷重に依る鈍曲率は (I) 式に依り次式で表される。

$$M = A R_1 + B(R_2 - L_2) + C(R_3 - L_3)$$

$$\cdots D L_4 + P$$

第一種間に第 1, 2, 第二期間に頂る夫々に對し、上式に於て、(A, B), (B, C) 及 (C, D) の各組が夫々其組の中に於て異符號なる時、換言すれば第三圖より第八圖に於て (A, B), (B, C), (C, D) の三つの宛の曲線が零座標軸を挿む時は、其 α の範間に於ては、各其種間に於ける influence line は正或は負の一方向の面積を描く。又同符號なる時即ち同圖に於て、上記三曲線が零座標軸の一方にある時は正負兩方の面積を包含する。此際 influence line の零座標軸との交點を其種間の右方剛節點より測り x_0 とし、 $\eta_0=x_0/l$ (<1) とすれば、 $\eta_0=P/(P+Q)$ となる。

茲に P 及 Q は (I) 式に於て各種間に對する R 及 L の夫々の係數をつくるものである。例へば第一種間に於ては、 P は R_1 の係數即ち 1 にして、 Q は L_2 の係數 B である。之より等布荷重に依る剛節點及固定點の最大鈍曲率を算出することが出来る。第九圖に於て

$$R_0 = g P \int \eta (1-\eta)^2 d\eta$$

$$L_0 = g Q \int \eta^2 (1-\eta) d\eta$$

である。

之より下の二つの場合を講導することが出来る。

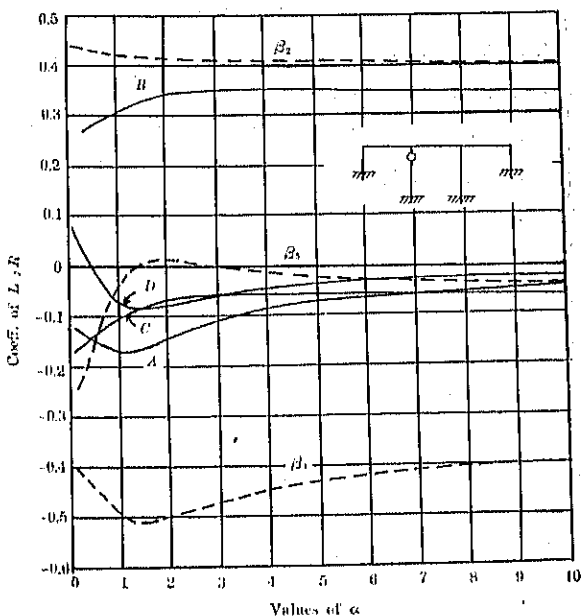
i) $x_0=0$, $\eta_0=\eta_0$ なる場合

$$R_0 = 0.083 g P \eta_0^2 (6-8\eta_0+3\eta_0^2)$$

$$L_0 = 0.083 g Q \eta_0^2 (1-3\eta_0)$$

若し $\eta_0=1$ なる時は

第八圖



第九圖



$$Ra' = I_a' = 0.083 \text{ } gl^3$$

ii) $x_1 = \gamma_0 l$, $x_2 = l$ なる場合

$$Ra'' = 0.083 \text{ } gl^2 - Ra'$$

$$I_b'' = 0.083 \text{ } gl^2 - I_b'$$

今第十圖より第十五圖に至る 6 個の圖表を見るに、是等は $l_1 = l_2 = l_3 = l$ なる場合に於て、夫々等布荷重に依る最大轉曲率と α の關係を示すものである。而して架構に附加圖示せる曲線は、 $\alpha=1$ の場合の influence line を示すものにして、圖中の數値は其曲線に依り圍まれた面積を示すべき $1.7^2 \times 10^{-2}$ の係數である。例へば M_{11} は第十圖に見る如く、第一徑間よりは荷重を滿載せる場合に最大正轉曲率を起し、 α なる等布荷重をもつ時、其値は $2.10 \text{ } gl^2 \times 10^{-2}$ となる。尚圖表中の鉛線は等布荷重を各徑間に満載せる時の値で、例へば M_{11} は第十圖に於て、 $\alpha=5$ の時 $3.53 \text{ } gl^2 \times 10^{-2}$ となる（第四表參照）。

上述せるところに依り、外側柱の脚部並に剛節點に於ける最大轉曲率は、 α と共に増大するのであるが、他の多くは減少し、前者に於ては特に著しい變化を示すものである。

更に桁材中央部に於ける最大正轉曲率に就て調べて見る。今 s を以て左方剛節點より最大轉曲率の生ずる點までの距離を表し、 l を以て徑間長とする。又 a 及 b を以て等布荷重を満載せる該桁材の、尖端右端及左端の轉曲率に於ける gl^2 の係數の絶對値を表す。斯くすれば s 及 M_{max} は次の如くなる。

$$s = [0.5 + (a-b)]l$$

$$M_{max} = [0.5 \{0.5 + (a-b)\}^2 - a] \text{ } gl^2, \dots, \dots, a > b$$

$$= [0.5 \{0.5 - (a-b)\}^2 - b] \text{ } gl^2, \dots, \dots, a < b$$

第四表

$$\text{Coeff. : } gl^2 \times 10^{-2}$$

d [cm] 20	M_{11}		M_{22}		$M_{12} (= M_{21})$		M_{33}		M_{44}	
	Max. load.		Full load.		Max. load.		Full load.		Max. load.	
	+	-	+	-	Load.	+	-	Load.	+	-
0.1	.57	-.09	.42	1.83	-2.66	-.83	.11	-1.00	-.83	11.00
0.3	1.33	-.30	1.03	1.81	-2.35	-.77	.66	-2.56	-2.10	10.59
0.5	1.91	-.43	1.48	1.79	-2.39	-.60	.65	-3.62	-2.99	10.54
0.7 ⁵	2.38	-.49	1.89	1.88	-2.35	-.47	.79	-4.44	-3.95	10.31
1.0	2.72	-.52	2.20	2.07	-2.37	-.44	.89	-5.16	-4.39	10.42
1.2 ⁵	2.96	-.53	2.43	2.19	-2.55	-.36	.96	-5.81	-4.85	10.40
1.5	3.15	-.55	2.60	2.23	-2.59	-.30	1.04	-6.25	-5.21	10.40
2.0	3.44	-.57	2.89	2.20	-2.09	-.29	1.15	-6.90	-5.95	10.30
2.5	3.68	-.61	3.07	2.13	-2.39	-.24	1.23	-7.35	-6.12	10.21
3.0	3.80	-.60	3.20	2.04	-2.25	-.21	1.28	-7.69	-6.41	10.10
3.5	3.98	-.66	3.32	1.99	-2.16	-.19	1.33	-7.96	-6.63	10.01
4.0	4.14	-.73	3.41	1.91	-2.09	-.16	1.36	-8.17	-6.81	9.92
4.5	4.31	-.79	3.52	1.87	-2.02	-.13	1.39	-8.33	-6.99	9.85
5.0	4.48	-.83	3.53	1.83	-1.98	-.11	1.01	-8.47	-7.04	9.79
6.0	4.78	-.116	3.62	1.98	-1.90	-.12	1.45	-8.69	-7.24	9.68
7.0	5.04	-.135	3.69	1.96	-1.86	-.10	1.48	-8.86	-7.38	9.59
8.0	5.25	-.150	3.75	1.94	-1.83	-.09	1.50	-9.00	-7.50	9.52
9.0	5.41	-.163	3.78	1.91	-1.79	-.08	1.51	-9.09	-7.58	9.43
10.0	5.56	-.173	3.83	1.91	-1.78	-.07	1.53	-9.19	-7.68	9.37

之に依り次の三つの場合に就き研究して見る。

(1) 兩側裡間に等布荷重を満載する場合、桁材

1-2 に於ける最大正彎曲率 (M_{12})

(ii) 第一裡間に等布荷重を滿載する場合、桁材

1-2 に於ける最大正彎曲率 (M_{12})

(iii) 中央裡間に等布荷重を滿載する場合、桁材

2-3 に於ける最大正彎曲率 (M_{23})

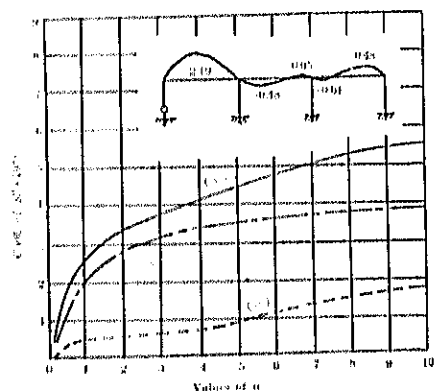
即ち上記の各場合に就て、 α 及 M_{\max} を調べて見ると第五表及第十六圖に示す様になる。 α の各値に對する a 及 b は、夫々第三表より直接求めることが出来る。

之を以て之を見るに、若し各裡間長を相等しきものとせば、桁材に於ける最大正彎曲率は、 $\alpha=0.1$ より $\alpha=1.5$ 迄は M_{12} に生じ、夫より $\alpha=3.5$ 迄は M_{23} に依り、夫より大なる α の値に對しては M_{23} に依り支配されることが知られる。尙 α の變化が M_{23}

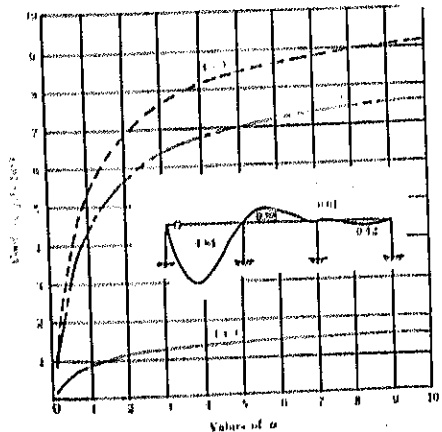
第五表

d	Case i		Case ii		Case iii	
	d_i	M_i	d_{ii}	M_{ii}	d_{iii}	M_{iii}
0.1	0.437	$824g^2 \times 10^3$	0.432	$816g^2 \times 10^3$	0.51	$6.01g^2 \times 10^2$
0.3	0.45	7.66	0.45	7.51	"	5.94
0.5	0.46	7.21	0.46	7.01	"	5.93
0.75	0.48	6.72	0.49	6.52	"	5.92
1.0	0.49	6.59	0.47	6.44	"	5.92
1.25	0.49	6.00	0.48	6.32	"	5.90
1.5	0.50	6.25	0.48	6.23	"	5.89
2.0	0.51	6.05	0.49	6.11	"	5.88
2.5	0.51	5.90	0.49	6.02	"	5.88
3.0	0.52	5.79	0.49	5.94	"	5.87
3.5	0.52	5.71	0.50	5.87	"	5.87
4.0	0.53	5.65	0.50	5.81	"	5.86
4.5	0.53	5.60	0.50	5.75	"	5.86
5.0	0.53	5.55	0.51	5.70	"	5.86
6.0	0.53	5.50	0.51	5.62	"	5.86
7.0	0.53	5.44	0.51	5.56	"	5.86
8.0	0.54	5.41	0.52	5.50	"	5.85
9.0	0.54	5.38	0.52	5.46	"	5.85
10.0	0.54	5.36	0.52	5.42	"	5.85

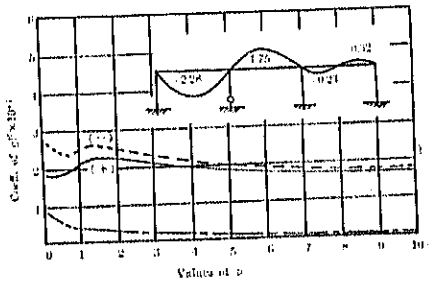
第十圖



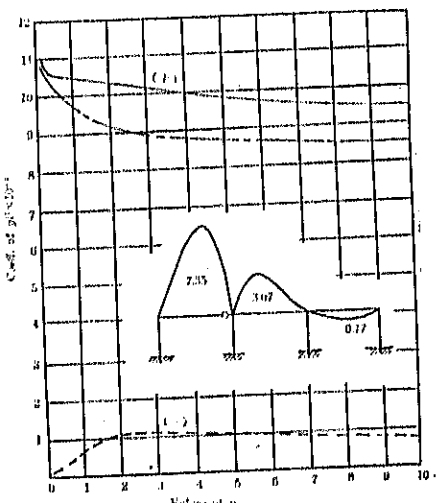
第十一圖



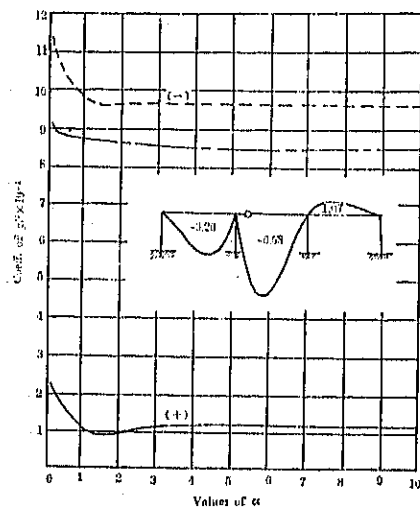
第十一圖



第十三圖



第十四圖



に與ふる影響の甚だ微小であることは第十六圖より明である。

2. 格點水平移動に就ての影響

以上轉曲率に就て述べたると同様に、格點の水平移動に就ても相似の關係を説導し得るのである。

兩側二脚柱の高さ等しく且つ同時に變化する場合にありては、(I) 式に於て、 $C=B$, $D=A$ と置くことが出来る。

又 T は中間剛節點桁材の轉曲率に於てのみ計算せらるべき値であるから、此際 $T=0$ である。従て格點水平移動量 δ は次式に依り表すことが出来る。

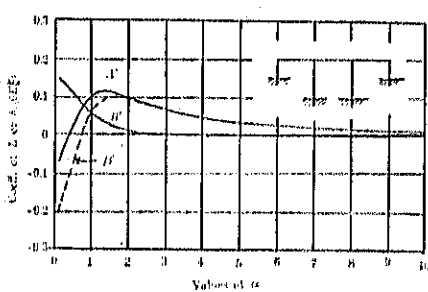
$$\delta = A(R_1 - L_1) + B(R_2 - L_2 + R_3 - L_3) \dots \dots \dots \dots \dots \dots \dots \quad (II)$$

茲に

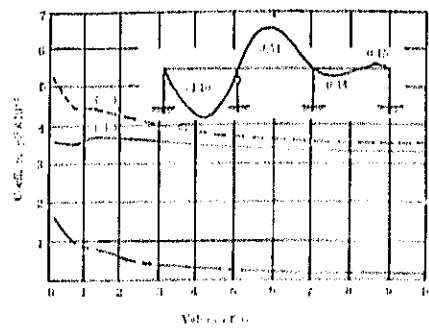
$$A = -\Delta p h/(6E\kappa), \quad B = \Delta q h/(6E\kappa)$$

である。

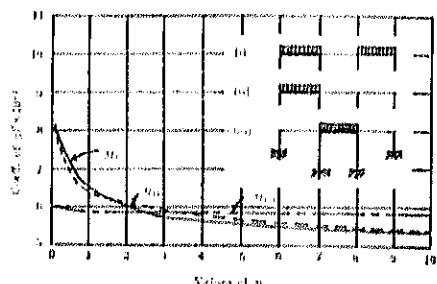
第十七圖



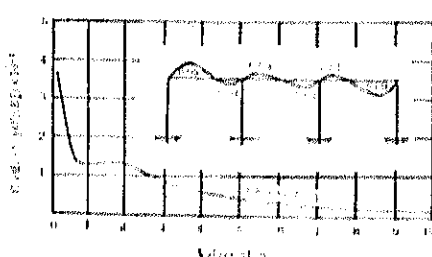
第十五圖



第十六圖



第十八圖



α の値に 0.1~10 を入れ、是等の値を計算したものは第六表左側に示すところである。又之を圖示すれば第十七圖の如くである。但し是等圖表に於て A' 及 B' は夫々 $h/(0.7E)$ の係数である。

之より δ と α との關係を見るに、格點水平移動量は荷重 S_2 及 S_3 よりは

α が 1.5 に於て、其増減の方向を轉じて行く。而して荷重 S_2 に對しては、 α が 2 より大なる値をとる時に於て、其影響並びに α に伴ひ變化は微小である。

又等布荷重に依る最大水平移動量、轉曲半径に於ける場合と同様に、各 α 値に對して求める時は、第六表右側並に第十八圖に示す如くである。之に依つて之を見るに、最大格點水平移動は α が 0.75 より 2.0 に至る間に於ては、其變化極めて微少である。

結論

本文に於て述べたところは、大略次の數項に之を結ぶことが出来る。

始め取扱つた架構は、高架式固定脚三層間架構にして、全脚柱が同高なる場合に於て剛比 1.0 なる値を有するものである。此架構が任意垂直荷重を有する場合に於て、兩側脚柱の高さを連續變化せしむる時、轉曲半径に格點水平移動量は一般に

$$A R_1 + B(R_1 - L_2) + C(R_1 - L_3) - D L_4 + T$$

に依り表すことの可能なるを示すものである。

又前記解式中の A, B, C, D 等を適宜算出するのに依り、柱高の連續變化が、轉曲半径に格點水平移動量に對し、如何なる影響を與ふるかに就て研究した。

即ち次第以下の如く總括することが出来る。

(1) 第一間隔の荷重 S_1 よりの α の連續的變化に依る剛節點並に固定點の轉曲率變化は次の如くである。剛節點 1 の轉曲率は α の増加に伴ひ其値を増し、剛節點 2 の軸材轉曲率は減少する。其他のもの即も固定脚部及第二柱上端轉曲率は、或特徴の α 値までは其値を増加し、夫より其増減の方向を轉ずる。

第二間隔荷重 S_2 よりは、 α の増大に伴ひ、第二柱の上下兩端轉曲率のみは減少すれど、其他の轉曲率はすべて増加する。而して荷重 S_3 よりの α の變化に依る轉曲率の影響は、何れも微小である。

第三間隔荷重 S_4 よりは、總べての轉曲率に於て、 α の連續變化に伴ひ、増加及減少の二性質を表す。特に $\alpha=1.0 \sim 2.5$ に於て、此性質を示すものが多い。尙第一脚柱の脚部轉曲率は α の増加に伴ひ、荷重 S_1 よりの影響が著しく増大して行くのである。

(2) 各種間隔を相等しとし、等布荷重に依る剛節點及固定點の最大轉曲率と α との關係を見るに、外側柱の固定點及剛節點に於ける轉曲率は、 α の増加に伴ひ著しく其値を増すが、其他の點に於ける最大轉曲率に就ては、其變化小にして、且つ多くは減少して行く。

(3) α の變化が軸材中央部の最大正轉曲率に與ふる影響は、中央間隔軸材に於ては甚だ微小である。

今各間隔長を相等しとし、兩側間間に荷重を有する場合及第一間隔のみに荷重を有する場合に於て、第一間隔軸材の最大正轉曲率を M_{11} 及 M_{10} にて表し、中央間隔のみに荷重を有する場合の中央軸材の最大正轉曲率を M_{01}

第六表

d	<i>Any loading</i>		<i>Max loading coeff. M_{11}/M_{01}</i>	
	A'	B'	+	-
0.1	-0.634	.1494	.37	-.37
0.3	-0.183	.1330	.28	-.28
0.5	.0324	.1138	.19	-.19
0.7	.0039	.0828	.13	-.13
1.0	.1111	.0556	.13	-.13
1.2	.1195	.0353	.13	-.13
1.5	.1166	.0218	.14	-.14
2.0	.0993	.0074	.14	-.14
2.5	.0809	.0014	.11	-.11
3.0	.0660	-.0011	.09	-.09
3.5	.0544	-.0021	.08	-.08
4.0	.0455	-.0025	.07	-.07
4.5	.0383	-.0025	.06	-.06
5.0	.0330	-.0025	.05	-.05
6.0	.0250	-.0022	.04	-.04
7.0	.0196	-.0019	.03	-.03
8.0	.0158	-.0016	.02	-.02
9.0	.0129	-.0014	.02	-.02
10.0	.0108	-.0012	.02	-.02

とせば次の如くなる。即ち桁材に於ける最大正彎曲率は $\alpha=0.1$ より $\alpha=1.5$ の時は M_1 により、次依り $\alpha=3.5$ の時は M_{11} により、更に夫より大なる α の値に於ては M_{111} に依り支配される。

(4) 兩側徑間に等布荷重強度を y_1 、中央徑間に於けるものを y_2 、裡間長は兩側を l_1 、中央に於けるものを l_2 となす時、中間剛節點桁材に於ける彎曲率は、總べての α 値に於て y_1, y_2 及 l_1, l_2 の如何なる比に於ても常に $M \neq 0$ である。其他の剛節點及脚部固定點にありては、 $M=0$ なる値が存在し得る。

(5) 格端水平移動と α との關係を見るに、水平移動量は、荷重 R_1 及 R_2 よりは、 $\alpha=1.5$ に於て α^2 に伴ふ増減の方向を轉ずる。 R_1 よりの影響は、 α が 2 より大なる値をとるときに於て極めて微僅となる。

等布荷重に依る最大水平移動は $\alpha=0.1$ より $\alpha=0.75$ まで著しく減少し、夫より $\alpha=2.0$ までは其變化極めて微僅である。

(以 上)